(71) GREGOREK KRZYSZTOF KG CONSULTING, Zabrze
(72) GREGOREK KRZYSZTOF; GREGOREK MATEUSZ

(54) **Szybko-złączna kompozytowa konstrukcja nośna do paneli fotowoltaicznych, zespół szybko-złącznej kompozytowej konstrukcji nośnej i panelu fotowoltaicznego, zastosowanie zespołu oraz kompozytowy profil nośny do konstrukcji nośnej do paneli fotowoltaicznych**

(57) Przedmiotem wynalazku jest szybko-złączna kompozytowa konstrukcja nośna (1) do paneli fotowoltaicznych zawierająca ramę nośną (2) złożoną z konstrukcyjnych profili nośnych (3), szybko-złączne elementy kształtowe (4) oraz kształtowe profile (5). Konstrukcja nośna charakteryzuje się tym, że wymienione elementy konstrukcji nośnej wykonane są z pultrudowanego albo ekstrudowanego kompozytu o oporności właściwej większej od 107 Ωm. Kompozytowe konstrukcyjne profile nośne (3) oraz kompozytowe kształtowe profile (5) połączone są za pomocą szybko-złącznych elementów kształtowych (4) poprzez połączenie kształtowe lub połączenie kształtowo-cierne. Przedmiotem wynalazku jest także zespół konstrukcji nośnej wraz z panelem fotowoltaicznym oraz jego zastosowanie do budowy farm fotowoltaicznych. Ponadto, przedmiotem wynalazku jest konstrukcyjny profil nośny do konstrukcji nośnej.

(17 zastrzeżeń)

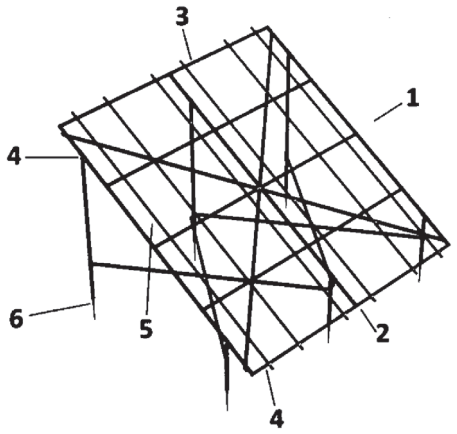

DZIAŁ G

FIZYKA

A1 (21) **437791** (22) 2021 05 06

(51) *G01N 24/00* (2006.01)
G06T 5/00 (2006.01)

(71) AKADEMIA GÓRNICZO-HUTNICZA IM. STANISŁAWA STASZICA W KRAKOWIE, Kraków; UNIWERSYTET JAGIELLOŃSKI W KRAKOWIE, Kraków; KRAKOWSKI SZPITAL SPECJALISTYCZNY IM. JANA PAWŁA II, Kraków; POLSKI BANK KOMÓREK MACIERZYSTYCH SPÓŁKA AKCYJNA, Warszawa; ŚLĄSKI UNIWERSYTET MEDYCZNY W KATOWICACH, Katowice
(72) KRZYŻAK ARTUR; FIGURA BOGDAN

(54) **Sposób obrazowania w eksperymencie magnetycznego rezonansu jądrowego**

(57) Sposób obrazowania w eksperymencie magnetycznego rezonansu jądrowego (MRJ), w którym stosuje się gradienty pola magnetycznego większe od gradientów używanych do obrazowania, w którym to sposobie oblicza się współczynniki tensora dyfuzji na podstawie przestrzennego rozkładu macierzy b(r) uzyskanego jako efekt kalibracji, charakteryzuje się tym, że: przeprowadza się kalibrację (201-203) dla co najmniej trzech różnych, niekolinearnych wektorów gradientu dyfuzji G_d, ustalając dla każdego z wektorów G_d wartość macierzy przestrzennej b) i macierzy teoretycznej bti dla każdego woksela o współrzędnej przestrzennej (r) w obrębie przestrzeni obrazowania; określa się (204) przestrzenny rozkład składowych tensora korekcji pola L(r) na podstawie co najmniej trzech układów równań (6), po jednym układzie równań (6) dla każdego wektora G: oblicza się (205) przestrzenny rozkład współczynników tensora dyfuzji (D_r) z uwzględnieniem wspomnianego przestrzennego rozkładu składowych tensora korekcji pola L(r) na podstawie określonego wzoru; oblicza się (205) przestrzenny rozkład współczynników tensora dyfuzji (D_r) z uwzględnieniem wspomnianego przestrzennego rozkładu składowych tensora korekcji pola L(r) na podstawie określonego wzoru.

(7 zastrzeżeń)

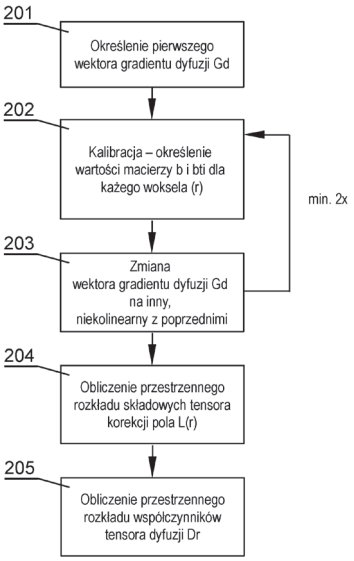

DZIAŁ H

ELEKTROTECHNIKA

A1 (21) **437779** (22) 2021 05 04

(51) *H01R 4/66* (2006.01)
H02G 13/00 (2006.01)

(71) MESSYASZ ANDRZEJ, Częstochowa; MYSŁEK ANDRZEJ, Częstochowa
(72) DOMINIAK ANDRZEJ; MESSYASZ ANDRZEJ; MYSŁEK ANDRZEJ